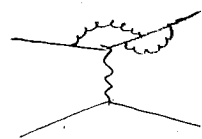


Correzioni virtuali:

1

Consideriamo le correzioni virtuali al processo $e\bar{\mu} \rightarrow e\bar{\mu}$ oppure $e\bar{\nu} \rightarrow e\bar{\nu}$ (così ci pensiamo limitare alla gamma elettronica).



Le correzioni virtuali alterano l'interpretazione fisica dei parametri della Lagrangiana (m, e, ψ, A) :

$$m_f \neq m \quad ; \quad e_f \neq e \quad \text{ecc.}$$

La procedura di riduzione LSZ tiene conto di questo fatto e dimostra che

$$S_{fi} = \left(\prod_{l \in \{i, f\}} \sqrt{R_l} \right) G_R^t(P_i, P_f)$$

residuo al polo
del propagatore
rinormalizzato

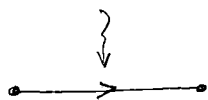
Ed è delle funzioni di Green
computate (truncate) rinormalizzate

SI RICAVALO DA

$$\mathcal{L}_{\text{QED}} = \bar{\Psi}_0 (i \hat{\partial} - e_0 \hat{A}_0 - m_0) \Psi_0 - \frac{1}{4} F_{\mu\nu} F^{\mu\nu}$$

$$= Z_2 \bar{\Psi}_R (i \hat{\partial} - Z_e \sqrt{Z_3} e_R \hat{A}_R - m_R - \delta m) \Psi_R - \frac{Z_3}{4} F_R^2$$

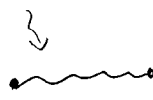
$$= \bar{\Psi}_R (i \hat{\partial} - m_R) \Psi_R - e_R \bar{\Psi}_R \hat{A}_R \Psi_R - \frac{1}{4} F_R^2$$



$$\frac{i}{\hat{p} - m_R}$$



$$-ie_R \gamma^\mu$$



$$\frac{-i(g^{\mu\nu} + t.g.)}{K^2}$$

$$\Psi_0 = \sqrt{Z_2} \Psi_R$$

$$A_0 = \sqrt{Z_3} A_R$$

$$e_0 = Z_e e_R$$

$$m_0 = \frac{m_R + \delta m}{Z_2}$$

$$Z_1 = Z_2 Z_e \sqrt{Z_3}$$

$$\delta_1 = Z_1 - 1$$

$$\delta_2 = Z_2 - 1$$

$$\delta_3 = Z_3 - 1$$

$$\begin{array}{cccc}
+ \delta_2 \bar{\Psi}_R i \hat{\partial} \Psi_R & - \delta m \bar{\Psi}_R \Psi_R & - \delta_1 e_R \bar{\Psi}_R \hat{A}_R \Psi_R & - \frac{\delta_3}{4} F_R^2 \\
\downarrow & \downarrow & \downarrow & \downarrow \\
\text{---} \bullet \text{---} & \text{---} \times \text{---} & \text{---} \bullet \text{---} & \text{---} \bullet \text{---} \\
i \delta_2 \hat{p} & -i \delta m & \delta_1 (-i e_R \gamma^\mu) & -i \delta_3 (k^2 g^{\mu\nu} - k^\mu k^\nu)
\end{array}$$

Le funzioni di Green rinormalizzate si calcolano mediante le regole di Feynman, fissando i controtermini $\delta_{1,2,3,m}$ in modo da assorbire le divergenze UV, in modo che $\bar{Z}^{\frac{n}{2}} G_R(p_1 \dots p_n; m_R, e_R)$ siano funzioni ben definite nel limite $\Lambda \rightarrow +\infty$ o $\epsilon \rightarrow 0$.

Regolarizzatori

Sono importanti le funzioni a 2 punti

$$G_{R\psi}(p) = \text{---} \text{---} \text{---} \quad \text{e} \quad G_{RA}(k) = \text{---} \text{---} \text{---}$$

$$G_R(p_1 \dots k_n) = \text{---} \text{---} \text{---} = [G_{R\psi}(p_e)]^{N_F} [G_{RA}(k_e)]^{N_B} \text{---} \text{---} \text{---}$$

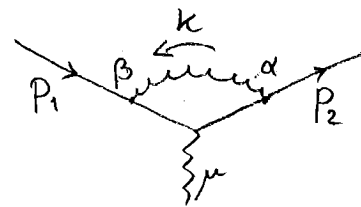
$$G_{R\psi}(p) \simeq \frac{i R_\psi}{\hat{p} - m_F} + \text{reg} \quad ; \quad G_{RA}(k) = \frac{-i g^{\mu\nu} R_A}{k^2} + \text{reg}$$

massa fisica

Quindi, per calcolare S_{fi} dobbiamo:

- calcolare $\text{---} \text{---} \text{---}$
- calcolare $R_{\psi\nu}$ da $\text{---} \text{---} \text{---}$

Correzione al vertice: $UV \rightarrow \epsilon$; $IR \rightarrow \lambda$ (V1)



$$-ie\Gamma^\mu(p_2, p_1) = \int \frac{d^D k}{(2\pi)^D} \frac{-i g_{\alpha\beta}}{k^2 - \lambda^2 + i0} \frac{(-ie\gamma^\alpha) i(\hat{p}_2 + \hat{k} + m)}{(p_2 + k)^2 - m^2 + i0}$$

$$(-ie\gamma^\mu) \frac{i\hat{p}_1 + \hat{u} + m}{(p_1 + k)^2 - m^2 + i0} (-ie\gamma^\beta)$$

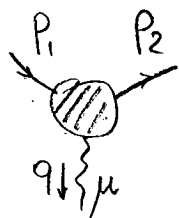
$$e = e_R \mu^\epsilon$$

$$m = m_R$$

- $D = 4 - 2\epsilon$ regolarizza la divergenza UV
- $\lambda > 0$ regolarizza la divergenza IR oppure $k^0 \rightarrow 0$
 $d^4 k \frac{1}{k^2} \frac{1}{p_2 \cdot k} \frac{1}{p_1 \cdot k} \sim dk \frac{k^3}{k^4}$
- $m > 0$ evita la divergenza collineare $\vec{k} \parallel \vec{p}_{1,2}$

Inserendo i due spinori dell'elettrone entrante e usante otteniamo un oggetto ^{rettoriale} che si può esprimere in termini di due funzioni scalari di q^2 chiamate

FATTORI DI FORMA dell'elettrone:



$$= \bar{u}(p_2) \Gamma^\mu(p_2, p_1) u(p_1) = \bar{u}_2 [\gamma^\mu + \Lambda^\mu(p_2, p_1)] u_1$$


$$= \bar{u}_2 \left[\gamma^\mu F_1(q^2) - \frac{i\sigma^{\mu\nu} q_\nu}{2m} F_2(q^2) \right] u_1$$

Infatti abbiamo 3 vettori a disposizione: $\gamma^\mu, p_1^\mu, p_2^\mu$ con cui costruire il vettore γ^μ . Equivalentemente $\gamma^\mu, q^\mu, (p_1 + p_2)^\mu$

Identità di Gordon: $\bar{u}_2 \gamma^\mu u_1 = \bar{u}_2 \left[\frac{(p_1 + p_2)^\mu}{2m} - \frac{i\sigma^{\mu\nu} q_\nu}{2m} \right] u_1$

ci permette di esprimere $(p_1 + p_2)^\mu$ in termini di γ^μ e q^μ . (V2)

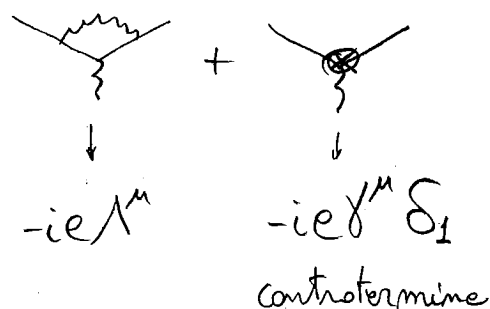
L'invarianza per parità della QED esclude γ_5 .

All'ordine più basso c'è solo il vertice  : $\Gamma_{(0)}^\mu = \gamma^\mu$

$$\Rightarrow F_1^{(0)}(q^2) = 1 \quad F_2^{(0)}(q^2) = 0$$

Le correzioni $O(e^2)$ relativo da
introducono correzioni $O(\alpha)$ a

$$F_1(q^2) = 1 + \delta F_1(q^2) ; F_2(q^2) \neq 0$$



$$\delta F_1^\uparrow(q^2) + \delta_1 \quad \text{limiti UV e IR}$$

\downarrow \downarrow
 divergenti UV \downarrow \downarrow \downarrow
 " IR \downarrow \downarrow \downarrow
 cancella le div UV

Oggi ci limitiamo all'analisi della divergenza IR.

Prescriviamo i \hat{k} nei numeratori dei propagatori fermionici
 k^2 " denominatori " " "

$$\bar{u}_2 \Lambda_{IR}^\mu u_1 = -ie^2 \int \frac{d^D k}{(2\pi)^D} \frac{\bar{u}_2 \gamma^\alpha (\hat{p}_2 + m) \gamma^\mu (\hat{p}_1 + m) \gamma^\beta u_1}{(k^2 - \lambda^2)(p_2 \cdot k)(p_1 \cdot k)} g_{\alpha\beta}$$

$$\text{si ha: } \bar{u}_2 \gamma^\alpha (\hat{p}_2 + m) = \bar{u}_2 [\{\gamma^\alpha, \hat{p}_2\} - \hat{p}_2 \gamma^\alpha + m \gamma^\alpha] = \bar{u}_2 2p_2^\alpha$$

$$(\hat{p}_1 + m) \gamma^\beta u_1 = [\{\gamma^\beta, \hat{p}_1\} - \hat{p}_1 \gamma^\beta + m \gamma^\beta] u_1 = 2p_1^\beta u_1$$

$$\Rightarrow \bar{u}_2 \Lambda_{IR}^\mu u_1 = \bar{u}_2 \gamma^\mu u_1 \left[\int \frac{d^D k}{(2\pi)^D} \frac{-i g_{\alpha\beta}}{k^2 - \lambda^2} \frac{e p_2^\alpha}{p_2 \cdot k} \frac{e p_1^\beta}{p_1 \cdot k} \right] \rightarrow \delta F_1^{IR}$$

In δF_1^{IR} abbiamo i tipici fattori di inserzione
 suffice incontrati nell'emissione reale. V3

Per svolgere l'integrale con 3 denominatori usiamo
 la parametrizzazione di Feynman

$$\frac{1}{ABC} = 2 \int_0^1 dx dy dz \frac{\delta(x+y+z-1)}{[xA+yB+zC]^3}$$

$$A = k^2 - \lambda^2 + i0$$

$$B = 2p_2 \cdot k + k^2 + i0$$

$$C = 2p_1 \cdot k + k^2 + i0$$

(Rimettiamo il k^2 altrimenti
 $\int d^D k$ divergerebbe ultravioletto)

$$\delta F_1^{IR} = -ie^2 \cdot 4 p_1 \cdot p_2 \int \frac{d^D k}{(2\pi)^D} 2 \int d(xyz) \frac{1}{D^3}$$

$$D := xA + yB + zC = k^2 + i0 - x\lambda^2 + y 2p_2 \cdot k + z 2p_1 \cdot k$$

$$= k^2 + 2k \cdot (y p_2 + z p_1) + (y p_2 + z p_1)^2 - x\lambda^2 + i0$$

$$= k'^2 - \Delta \quad : \quad k' = k + y p_2 + z p_1$$

$$\Delta := (y p_2 + z p_1)^2 - x\lambda^2 + i0$$

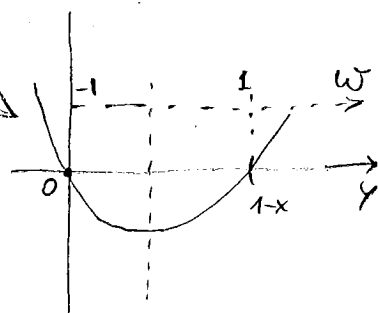
$\boxed{\epsilon \rightarrow 0}$

$$= m^2(1-x)^2 + y(1-x-y)q^2 + x\lambda^2 - i0$$

$$\int \frac{d^4 k}{(2\pi)^4} \frac{1}{(k'^2 - \Delta)^3} = -\frac{i}{2(4\pi)^2 \Delta}$$

$$\delta F_1^{IR} = -\frac{e^2 4 p_1 \cdot p_2}{(4\pi)^2} \int_0^1 dx \int_0^{1-x} dy \Delta^{-1}$$

Δ è quadratico in y : $\int dy$ è elementare



Poniamo $x' := 1-x$ e $y := \frac{1+b}{2} x'$

V4

$$\Rightarrow \int_0^{1-x} dy \Delta^{-1} = \int_{-1}^1 db \frac{x'}{2} \left[m^2 x'^2 - \frac{x'^2 q^2}{4} (1-b^2) + d^2 (1-x') \right]^{-1}$$

Estraiamo $\frac{m^2}{q^2}$ il coefficiente di b^2 che è $\frac{x'^2}{f}$ ove $f := \frac{4m^2}{-q^2} > 0$

$$= \frac{x}{2} \frac{-f}{m^2 x^2} 2 \int_0^1 db [b^2 - b_0^2(x)]^{-1} \quad \text{ove } b_0^2 := 1 + f \left[1 + \frac{d^2}{m^2} \frac{(1-x)}{x^2} \right]$$

$$= \frac{4}{x q^2} \cdot \frac{-1}{2b_0} \ln \frac{b_0+1}{b_0-1} \quad \text{da integrare } \int_0^1 dx$$

Poiché per noi $d^2 \ll m^2$, vediamo che b_0 quasi non dipende da x e rimane pressoché costante: $b_0 \sim \sqrt{1+f} = b$ o meno che x non sia così piccolo per cui

$$\frac{d^2}{m^2} \frac{1-x}{x^2} \approx \frac{d^2}{m^2 x^2} \gtrsim 1 \quad \Leftrightarrow \quad x \lesssim \frac{d}{m} \ll 1$$

$$\text{Se } x \ll \frac{d}{m} \quad b_0 \sim \frac{\sqrt{f}}{x} \rightarrow +\infty$$

$$\frac{1}{2b_0} \ln \frac{b_0+1}{b_0-1} \stackrel{*}{\sim} x^2 \rightarrow 0 \quad \text{e sopprime il fattore } \frac{1}{x}$$

$$\Rightarrow \delta F_1^{IR} \approx - \frac{e^2}{(4\pi)^2} \underbrace{4P_1 P_2}_{2(m^2 - q^2)} \underbrace{\frac{2}{d/m}}_{\ln \frac{m}{d}} \int \frac{dx}{x} \left[\frac{1}{b_0} \ln \frac{b_0+1}{b_0-1} \right] b_0 = b = \sqrt{1 - \frac{4m^2}{q^2}}$$

è quindi una funzione scalare di q^2 che diverge logaritmicamente per $\frac{d}{m} \rightarrow 0$,

La struttura logaritmica ci fa sospettare che questo abbia qualcosa in comune con $I(\vec{v}_1, \vec{v}_2)$.

$$\delta F_1^{IR} \simeq -\frac{\alpha}{4\pi} \left(b + \frac{1}{b}\right) \ln \frac{b+1}{b-1} \ln \frac{m^2}{d^2}$$

$U_1(2)$

$U_1(1) \quad U_H(2)$

$$\frac{1}{\beta_{12}} \ln \frac{1+\beta_{12}}{1-\beta_{12}}$$

$$\beta_{12} = \text{vel relativa} = \frac{\beta + \beta}{1 + \beta \cdot \beta} = 2 \left[\beta + \frac{1}{\beta} \right]^{-1}$$

$$\beta = \sqrt{1 - \frac{1}{\gamma^2}} = \sqrt{1 - \frac{4m^2}{(p_1 + p_2)^2}} < 1$$

crossing: $p_2 \rightarrow -p_2 \quad s \rightarrow t$

Invece in δF_1^{IR} abbiamo $b = \sqrt{1 - \frac{4m^2}{(p_1 - p_2)^2}} > 1$

Esercizio: $\beta = \frac{1}{b}$

$$\left(b + \frac{1}{b}\right) \ln \left(\frac{b+1}{b-1}\right) = \left(\frac{1}{\beta} + \beta\right) \ln \left(\frac{1+\beta}{1-\beta}\right) = \frac{1}{\beta_{12}} \ln \frac{1+\beta_{12}}{1-\beta_{12}}$$

Riusciamo così a scrivere δF_1^{IR} in termini di β_{12} :

$$\delta F_1^{IR}(q^2) = -\frac{\alpha}{4\pi} \frac{1}{\beta_{12}} \ln \frac{1+\beta_{12}}{1-\beta_{12}} \ln \frac{m^2}{d^2}$$

Oppure (Mandel Shaw 3.7) $\frac{1}{k^2 - d^2 + i0} = P \frac{1}{k^2 - d^2} - i\pi \delta(k^2 - d^2) = P \frac{1}{k^2 - d^2} - \frac{i\pi}{2\omega_k} [\delta(k_0 - \omega_k) + \delta(k_0 + \omega_k)]$
 \swarrow IR finite \searrow IR divergente

$$\delta F_1^{IR}(q^2) = -\frac{e^2}{(4\pi)^2} \int d\tilde{k} \frac{p_1 \cdot p_2}{(p_1 \cdot k)(p_2 \cdot k)}$$

Per quanto riguarda la divergenza UV della correzione al vertice, questa si calcola tenendo solamente i \hat{k} nei numeratori dei propagatori fermionici:

$$\bar{u}_2 \Lambda_{uv}^{\mu} u_1 = -ie^2 \int \frac{d^D k}{(2\pi)^D} \frac{\bar{u}_2 \gamma^\alpha \hat{k} \gamma^\mu \hat{k} \gamma_\alpha u_1}{k^2 (2p_2 \cdot k + k^2) (2p_1 \cdot k + k^2)}$$

in cui Λ^2 può essere rimosso perché qui non c'è diverg. IR.

Parametrizzando alla Feynman come prima, ed integrando in $d^D k$ in $D=4-2\epsilon$ dimensioni,

e usando $\gamma^\alpha \gamma^\beta \gamma^\mu \gamma_\beta \gamma_\alpha = -2(1-\epsilon) \gamma^\alpha \gamma^\mu \gamma_\alpha = 4(1-\epsilon)^2 \gamma^\mu$

si trova che $\delta F_1(q^2)$ diverge UV mentre $F_2(q^2)$ è finito:

$$\delta F_1^{\Lambda, UV} = \frac{\alpha}{2\pi} \frac{1}{\epsilon}$$

La correzione al vertice completa, tenendo in conto anche del controtermine δ_1 , dà infine

$$\delta F_1^{\text{reg}}(q^2) = \frac{\alpha}{4\pi} \left[\underbrace{\frac{1}{\epsilon} - \gamma}_{\text{UV}} - \frac{1}{\beta_{12}} \underbrace{\ln \frac{1+\beta_{12}}{1-\beta_{12}}}_{\text{IR, } q^2 \text{ dip.}} \ln \frac{m^2}{\Lambda^2} + \underbrace{\ln \frac{4\pi \mu^2}{m^2}}_{\mu\text{-DP}} + \underbrace{\mathcal{F}_1\left(\frac{q^2}{m^2}\right)}_{\text{finito}} \right] + \delta_1$$

Lo SCHEMA DI RINORMALIZZAZIONE consiste nello scegliere δ_1

$\delta_1^{\text{HS}} := -\frac{\alpha}{4\pi\epsilon}$ rimuove solo $\frac{1}{\epsilon}$; $\delta_1^{\text{HS}} := -\frac{\alpha}{4\pi} \left(\frac{1}{\epsilon} - \gamma + \ln 4\pi \right)$

Nello schema on-shell si richiede che

$$\delta F_1^{\text{os}}(q^2=0) = 0 \Rightarrow \delta_1^{\text{os}} = -\frac{\alpha}{4\pi} \left[\frac{1}{\epsilon} - \gamma - 2 \ln \frac{m^2}{\Lambda^2} + \ln \frac{4\pi \mu^2}{m^2} + \mathcal{F}_1(0) \right]$$

NOTA Quindi δ_1 può contenere una div. IR, ma non tutta!

Autoenergia dell'elettrone

A1

Dobbiamo ora calcolare $G_R(p, e_R, m_R) = \rightarrow \text{diagramma} \xrightarrow{p} \sim \frac{i R_\psi}{p - m_F}$
 per determinare

- il residuo R_ψ
- la relazione tra m_R e m_F
 - parametro usato nei calcoli \swarrow
 - osservabile \downarrow

- See R_ψ che $m_R(m_F)$ dipendono dallo scheme di rinormalizzazione (perché divergono UV)
- R_ψ presenta anche una divergenza IR.

Calcoliamo G_R off-shell: $p^2 \neq m_F^2$. Ci ricordiamo che

$$\begin{aligned}
 \text{diagramma} &= \text{linea} + \text{linea} \rightarrow \text{1PI} \rightarrow + \text{linea} \rightarrow \text{1PI} \rightarrow \text{1PI} \rightarrow + \dots \\
 &= \frac{i}{\hat{p} - m_R} \left\{ 1 + B(\hat{p}) \frac{i}{\hat{p} - m_R} + \left[-B(\hat{p}) \frac{i}{\hat{p} - m_R} \right]^2 + \dots \right\} \\
 &= \frac{i}{\hat{p} - m_R} \left\{ 1 - B(\hat{p}) \frac{i}{\hat{p} - m_R} \right\}^{-1} = i \left\{ \left[1 - B \frac{i}{\hat{p} - m_R} \right] (\hat{p} - m_R) \right\}^{-1} \\
 &= \frac{i}{\hat{p} - m_R - i B(\hat{p})} = \frac{i}{\hat{p} (1 + \delta_2) - (m_R + \delta m) - \Sigma(\hat{p})}
 \end{aligned}$$

Ad $\mathcal{O}(\alpha)$: $B(\hat{p}) = \frac{\text{diagramma}}{-i\Sigma(\hat{p})} + \frac{\text{diagramma}}{-i\delta m} + \frac{\text{diagramma}}{+i\hat{p}\delta_2}$

Sviluppiamo $\Sigma(\hat{p})$ in serie attorno a $\hat{p} = m_F$

Se non vi è chiaro cosa voglio dire sviluppare o derivare rispetto a \hat{p} , me discutiamo dopo.

$$\Sigma(\hat{p}) = \underbrace{\Sigma(m_F)}_{\Sigma_F \mathbb{1}_4} + \underbrace{\frac{\partial \Sigma}{\partial \hat{p}} \Big|_{\hat{p}=m_F}}_{\Sigma'_F} (\hat{p} - m_F) + \mathcal{O}(\hat{p} - m_F)^2 \quad \text{numeri}$$

$$G_{R\psi} = i / [\hat{p}(1 + \delta_2 - \Sigma'_F) - (m_R + \delta m + \Sigma_F - m_F \Sigma'_F) + \mathcal{O}(\hat{p} - m_F)^2]$$

$$= \frac{i}{(1 + \delta_2 - \Sigma'_F)(\hat{p} - m_F)} + (\text{regolare a } \hat{p} = m_F)$$

perché $(1 + \delta_2 - \Sigma'_F) m_F = m_R + \delta m + \Sigma_F - m_F \Sigma'_F$

allora $m_F = \frac{m_R + \delta m + \Sigma_F}{1 + \delta_2}$

- δ_2 compensa la divergenza UV in Σ'_F
- δm " " " " " " $\Sigma_F - m_F \Sigma'_F$

in modo che, assunte finite e_R, m_R ,
risultino finite:

$$m_F$$

$$R_\psi = \frac{1}{1 + \delta_2 - \Sigma'_F}$$

NOTA In seguito, ove non specificato, $e \equiv e_R$
 $m \equiv m_R$

Calcoliamo quindi (in gauge di Feynman)

A3

$$-i\Sigma(\hat{p}) = \int \frac{d^D k}{(2\pi)^D} (-ie\mu^\epsilon \gamma^\mu) \frac{i(\hat{p} + \hat{k} + m)}{(p+k)^2 - m^2} (-ie\mu^\epsilon \gamma^\nu) \frac{-i g_{\mu\nu}}{k^2 - \Delta^2}$$

$$= -(e\mu^\epsilon)^2 \int_0^1 dx \int \frac{d^D k}{(2\pi)^D} \frac{\gamma^\mu (\hat{p} + \hat{k} + m) \gamma_\mu}{[k^2 + x(p^2 + 2p \cdot k - m^2) - (1-x)\Delta^2]^2}$$

$$k' = k + xp \quad ; \quad \gamma^\mu \gamma_\mu = 4 - 2\epsilon \quad ; \quad \gamma^\mu \hat{k} \gamma_\mu = -2(1-\epsilon) \hat{k}$$

$$= -(e\mu^\epsilon)^2 \int_0^1 dx \int \frac{(4-2\epsilon)m - 2(1-\epsilon)[\hat{k}' - (1-x)\hat{p}]}{[k'^2 + \underbrace{x(1-x)p^2 - xm^2 - (1-x)\Delta^2}_{-\Delta}]^2} \frac{d^D k'}{(2\pi)^D}$$

$$\int \frac{d^D k}{(2\pi)^D} \frac{1}{(k^2 - \Delta)^2} = \frac{i}{(4\pi)^{2-\epsilon}} \frac{\Gamma(\epsilon)}{\Delta^\epsilon}$$

$$\Sigma(\hat{p}) = \frac{2e^2}{(4\pi)^2} (4\pi\mu^2)^\epsilon \Gamma(\epsilon) \int_0^1 dx [(2-\epsilon)m - (1-\epsilon)(1-x)\hat{p}] \times$$

$$\times [xm^2 - x(1-x)p^2 + (1-x)\Delta^2]^{-\epsilon}$$

$$\Sigma_F = \Sigma(\hat{p}=m) + O(\alpha^2) = \frac{\alpha}{2\pi} (4\pi\mu^2)^\epsilon \Gamma(\epsilon) m \int_0^1 dx [1 + (1-\epsilon)x] \ln[m^2 x^2]$$

$$\int_0^1 x^n \ln x = -\frac{1}{(n+1)^2} \quad = \frac{\alpha}{\pi} m \left[\frac{3}{4} \left(\frac{1}{\epsilon} - \gamma + \ln \frac{4\pi\mu^2}{m^2} \right) + 1 \right]$$

divergente UV, finito IR

$$\Sigma'_F = \Sigma'(\hat{p}=m) + O(\alpha^2) = \frac{\alpha}{2\pi} (4\pi\mu^2)^\epsilon \Gamma(\epsilon) \int_0^1 dx \left\{ \right.$$

$$-(1-\epsilon)(1-x) [1 - \epsilon \ln(m^2 x^2)]$$

$$+ [2-\epsilon - (1-\epsilon)(1-x)] m (-\epsilon) [x^2 m^2 + (1-x)\Delta^2]^{-1} (-2m)x(1-x) \left. \right\}$$

↑
trascurabile

L'integrale nella prima riga è elementare e dà [A4]
 $\frac{1}{2}[-1 + \mathcal{O}(\ln m^2 - 2)]$

Quello nella seconda riga diverge IR $\int dx \frac{x}{x^2}$
 se non si tiene $d > 0$.

Essendo globalmente di $\mathcal{O}(\epsilon)$ (con $\Gamma(\epsilon)$ in fronte)
 trascuriamo gli $\mathcal{O}(\epsilon^2)$ e restiamo con:

$$\int_0^1 dx \Big|_{\text{2° pezzo}} = 2\epsilon m^2 \int_0^1 dx \frac{x(1-x)(1+x)}{x^2 m^2 + (1-x)d^2} = 2\epsilon \int_0^1 \frac{(x-x^3) dx}{x^2 + (1-x)\frac{d^2}{m^2}}$$

$$\approx 2\epsilon \left\{ \int_0^1 dx \frac{x}{x^2 + \frac{d^2}{m^2} - \frac{d^2}{m^2}x} - \int_0^1 dx x \right\}$$

$\rightarrow \frac{1}{2}$

$\frac{d^2}{m^2} \ll 1$ è molto piccolo, e fa sentire la sua presenza
 solo quando $x^2 \lesssim \frac{d^2}{m^2} \ll 1$ è molto piccolo

In questa regione $\frac{d^2}{m^2}x \ll \frac{d^2}{m^2}$, quindi il termine
 $-\frac{d^2}{m^2}x$ si può trascurare uniformemente in x .

Allora $\int_0^1 dx \frac{x}{x^2 + \frac{d^2}{m^2}} = (x^2 =: t) = \frac{1}{2} \int_0^1 \frac{dt}{t + \frac{d^2}{m^2}}$

$$= \frac{1}{2} \left[\ln\left(1 + \frac{d^2}{m^2}\right) - \ln \frac{d^2}{m^2} \right] = \frac{1}{2} \ln \frac{m^2}{d^2} + \mathcal{O}\left(\frac{d^2}{m^2}\right)$$

Mettendo tutto assieme

$$\Sigma_F' = \frac{\alpha}{\pi} \left[-\frac{1}{4} \left(\frac{1}{\epsilon} - \gamma + \ln \frac{4\pi\mu^2}{m^2} \right) - 1 + \frac{1}{2} \ln \frac{m^2}{d^2} \right]$$

$+ \mathcal{O}(\epsilon) + \mathcal{O}\left(\frac{d^2}{m^2}\right)$

divergente UV e IR

Il residuo del propagatore fermionico è perturb AS

$$R_\psi = \left\{ 1 + \delta_2 - \frac{\alpha}{\pi} \left[-\frac{1}{4} \left(\frac{1}{\epsilon} - \gamma + \ln 4\pi + \ln \frac{\mu^2}{m^2} \right) - 1 + \frac{1}{2} \ln \frac{m^2}{d^2} \right] \right\}^{-1}$$

A questo punto si fissa il controtermine δ_2 in modo da eliminare la divergenza UV $\sim \frac{1}{\epsilon}$

La forma precisa dei controtermini, che ne definisce la parte finita, è detta SCHEMA DI RINORMALIZZAZIONE.

I due schemi più usati sono:

SCHEMA \overline{MS} $\delta_2^{\overline{MS}} = -\frac{\alpha}{\pi} \frac{1}{4} \left(\frac{1}{\epsilon} - \gamma + \ln 4\pi \right) = \delta_1^{\overline{MS}}$

$$R_\psi^{\overline{MS}} = 1 + \frac{\alpha}{\pi} \left[-\frac{1}{4} \ln \frac{\mu^2}{m^2} - 1 + \frac{1}{2} \ln \frac{m^2}{d^2} \right] + O(\alpha^2)$$

dipende da μ , è divergente IR

SCHEMA ON-SHELL: $R_\psi^{OS} \equiv 1$

$$\delta_2^{OS} = \Sigma_F'$$

$$= \delta_1^{OS}$$

ID. WARD

si inserisce una divergenza IR nel controtermine.

Analogamente si procede per δm : a meno di $O(\alpha^2)$

SCHEMA \overline{MS} : $\delta m^{\overline{MS}} = m_F \Sigma_F' - \Sigma_F \Big|_{\text{pole } \frac{1}{\epsilon}} = -\frac{\alpha}{\pi} \left(\frac{1}{\epsilon} - \gamma + \ln 4\pi \right)$

$$m_F = m_R \left[1 + \frac{\alpha}{\pi} \left(\frac{3}{4} \ln \frac{\mu^2}{m_R^2} + 1 \right) \right]$$

SCHEMA ON-SHELL: $m_F \equiv m_R$

$$\delta m^{OS} = \delta_2 m_R - \Sigma_F$$

Infine abbiamo l'autoenergia del fotone, chiamata anche "polarizzazione del vuoto":

$$\text{diagramma con cerchio hatched} = \text{linea ondata} + \text{diagramma con due cerchi 1PI} + \dots$$

$$\text{diagramma con cerchio 1PI} = \text{diagramma con cerchio vuoto} + \text{diagramma con punto} + \mathcal{O}(\alpha^2)$$

$$\left[i\Pi(q^2) \quad -i\delta_3 \quad + \dots \right] (q^2 g^{\mu\nu} - q^\mu q^\nu)$$

$$\Rightarrow G_{RA}(K) = \text{diagramma con cerchio hatched} = \frac{-i(g^{\mu\nu} + \text{t.g.})}{q^2 [1 + \delta_3 - \Pi(q^2)]}$$

$$= \frac{-i(g_{\mu\nu} + \text{t.g.})}{q^2} R_A + \text{regolare a } q^2 = 0$$

$$R_A = [1 + \delta_3 - \Pi(0)]^{-1}$$

$\Pi(q^2)$ è divergente UV, non è divergente IR.
(se i fermioni hanno massa)

Scegliendo opportunamente δ_3 (p.e. $\delta_3 = \Pi(0)$) si rimuove la divergenza UV.